

МИНИСТЕРСТВО ОБРАЗОВАНИЯ И НАУКИ РОССИЙСКОЙ ФЕДЕРАЦИИ  
ФЕДЕРАЛЬНОЕ ГОСУДАРСТВЕННОЕ АВТОНОМНОЕ ОБРАЗОВАТЕЛЬНОЕ  
УЧРЕЖДЕНИЕ ВЫСШЕГО ОБРАЗОВАНИЯ  
«Национальный исследовательский ядерный университет «МИФИ»  
(НИЯУ МИФИ)

Институт интеллектуальных кибернетических систем  
Кафедра Кибернетики

**Лабораторная работа №5**  
**«Идентификация параметров линейного регрессионного**  
**объекта при загрязненных шумах»**  
**Вариант №4**

**Выполнил студент группы Б15-501:**

**Огнянович П.А.**

**Проверила:**

**Воробьева Д.В.**

Москва, 2019

## Цель работы

Исследование эффективности применения подхода Хубера при идентификации параметров линейного регрессионного объекта в условиях бедной априорной информации о шумах.

## Описание метода

Дан линейный регрессионный объект вида:

$$y(i) = b_1 u_1(i) + \dots + b_n u_n(i) + \eta(i)$$

Шум измерений принадлежит классу  $\alpha$ -загрязненных распределений. Для определения функции потерь для формирования рекуррентного алгоритма определения параметров линейного регрессионного объекта в условиях  $\alpha$ -загрязненных распределений шумов является подход Хубера, основанный на теореме Хубера:

$$\Phi = \{f(\eta): f(\eta) = (1-\alpha)h(\eta) + \alpha g(\eta)\},$$

где  $f(\eta)$  – распределение помех,  $h(\eta)$  – некоторая известная плотность распределения,  $g(\eta)$  – произвольная неизвестная плотность распределения и  $\alpha$  – вероятность появления «выброса» с распределением  $g(\eta)$ ,  $\alpha$  удовлетворяет условию:

$$0 \leq \alpha \leq 1$$

Результат, полученный Хубером, получил название «Теорема Хубера».

$f(\eta) = (1-\alpha)f_N(\eta) + \alpha g(\eta)$  – помеха принадлежит классу приближенно нормальных распределений, где  $f_N(\eta)$  – нормальное распределение,  $\alpha$  – вероятность появления «выброса» с распределением  $g(\eta)$

$$f_N(\eta) = \frac{1}{\sqrt{2\pi\sigma_\eta^2}} e^{-\frac{\eta^2}{\sigma_\eta^2}}$$

Оптимальная на классе плотность распределения:

$$f^*(\eta) = \begin{cases} (1-\alpha) \frac{1}{(2\pi\sigma_\eta^2)^{1/2}} \exp\left[-\frac{1}{2\sigma_\eta^2} \eta_0^2\right] \exp[k(\eta - \eta_0)], & \eta < \eta_0; \\ (1-\alpha) \frac{1}{(2\pi\sigma_\eta^2)^{1/2}} \exp\left[-\frac{1}{2\sigma_\eta^2} \eta^2\right], & \eta_0 \leq \eta \leq \eta_1; \\ (1-\alpha) \frac{1}{(2\pi\sigma_\eta^2)^{1/2}} \exp\left[-\frac{1}{2\sigma_\eta^2} \eta_1^2\right] \exp[-k(\eta - \eta_1)], & \eta > \eta_1. \end{cases}$$

Соответствующая функция потерь будет иметь вид:

$$F^*(\varepsilon) = \begin{cases} -\ln\left[(1-\alpha) \frac{1}{\sqrt{2\pi\sigma_\eta^2}}\right] + \frac{1}{2\sigma_\eta^2} \eta_0^2 - k(\varepsilon - \eta_0), & \varepsilon \leq \eta_0; \\ -\ln\left[(1-\alpha) \frac{1}{\sqrt{2\pi\sigma_\eta^2}}\right] + \frac{1}{2} \sigma_\eta^2 \varepsilon^2, & \eta_0 \leq \varepsilon \leq \eta_1; \\ -\ln\left[(1-\alpha) \frac{1}{\sqrt{2\pi\sigma_\eta^2}}\right] + \frac{1}{2} \sigma_\eta^2 \eta_1^2 + k(\varepsilon - \eta_1), & \varepsilon \geq \eta_1. \end{cases}$$

Очевидно, записанная функция потерь будет эквивалентна более простой функции потерь:

$$F^*(\varepsilon) = \begin{cases} \frac{1}{2\sigma_\eta^2} \eta_0^2 - k(\varepsilon - \eta_0), & \varepsilon \leq \eta_0; \\ \frac{1}{2\sigma_\eta^2} \varepsilon^2, & \eta_0 \leq \varepsilon \leq \eta_1; \\ \frac{1}{2\sigma_\eta^2} \eta_1^2 + k(\varepsilon - \eta_1), & \varepsilon \geq \eta_1. \end{cases}$$

Форма рекуррентного алгоритма для оценивания параметров регрессионного объекта при условии, что на систему действует случайная помеха, имеющая приближенно нормальный закон распределения:

$$\begin{aligned} \hat{b}(i) &= \hat{b}(i-1) + \Gamma(i) d(\varepsilon(i), \hat{b}(i-1)) \bar{u}(i), \\ \Gamma(i) &= \Gamma(i-1) - \frac{\Gamma(i-1) \bar{u}(i) \bar{u}^T(i) \Gamma(i-1)}{\left(I_F^*\right)^{-1} + \bar{u}^T(i) \Gamma(i-1) \bar{u}(i)}, \\ \Gamma(0) &= \lambda I, \quad \lambda \gg 1, \quad \hat{b}(0) = \hat{b}_0, \end{aligned}$$

Окончание рекуррентного процесса связано с прекращением нормального функционирования объекта идентификации, в частности, с получением достоверной информации от датчиков.

## Результаты работы

Параметры объекта:  $M = 4$

$$b_0=1,9 \quad b_1=-0,9 \quad b_2=0,8 \quad b_3=0 \quad b_4=2.5$$

Входные воздействия  $U_1(i), U_2(i), U_3(i), U_4(i)$  имели нормальный закон распределения:  $M_{U_1} = 1.5, M_{U_2} = 0.5, M_{U_3} = 1, M_{U_4} = 0$

$$\sigma^2_{U_1} = 99, \sigma^2_{U_2} = 99, \sigma^2_{U_3} = 99, \sigma^2_{U_4} = 99$$

$N = 190$  – количество измерений

Шум, действующий в объекте  $\eta(i)$ , имел приближенно нормальный закон распределения:

$$f(\eta) = (1-\alpha)f_N(\eta) + \alpha g(\eta),$$

где  $f_N(\eta)$  — нормальный закон распределения:

$$f_N(\eta) = \frac{1}{(2\pi)^{1/2} \sigma_\eta} e^{-\frac{1}{2\sigma_\eta^2} \eta^2},$$

а «выброс»  $g(\eta)$  — также нормальный закон распределения

$$g(\eta) = \frac{1}{(2\pi)^{1/2} \sigma_{\eta \text{ выбр}}} e^{-\frac{1}{2\sigma_{\eta \text{ выбр}}^2} \eta^2}$$

Оценка эффективности алгоритма Хубера по сравнению с обычным рекуррентным алгоритмом с квадратичной функцией потерь (линейный рекуррентный алгоритм) проводилась при следующих статистических характеристиках распределений:

$$1) \sigma_\eta = 0.5; \alpha = 0.1; \sigma_{\eta \text{ выбр}} = 10;$$

$$2) \sigma_\eta = 0.5; \alpha = 0.1; \sigma_{\eta \text{ выбр}} = 50;$$

$$3) \sigma_\eta = 0.5; \alpha = 0.1; \sigma_{\eta \text{ выбр}} = 99;$$

$$4) \sigma_\eta = 0.5; \alpha = 0.3; \sigma_{\eta \text{ выбр}} = 10;$$

$$5) \sigma_\eta = 0.5; \alpha = 0.3; \sigma_{\eta \text{ выбр}} = 50;$$

б)  $\sigma_{\eta} = 0.5$ ;  $\alpha = 0.3$ ;  $\sigma_{\eta \text{ выбр}} = 99$ ;

По полученным результатам были построены графики сходимости сглаженной ошибки по двум алгоритмам: алгоритм с использованием теоремы Хубера и рекуррентный алгоритм, соответствующий методу наименьших квадратов.

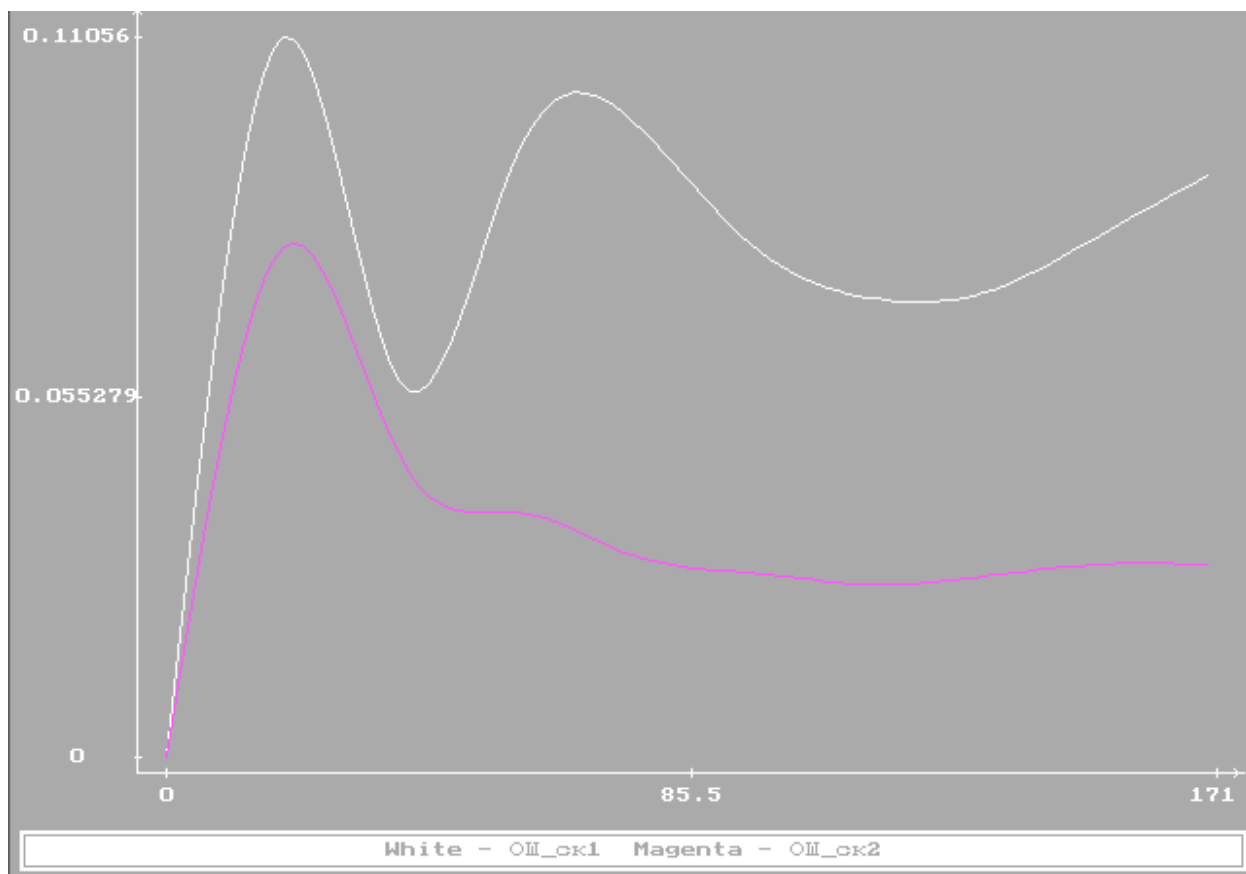


Рис.1. График зависимости сглаженной ошибки оценки от номера измерений для  $\sigma_{\eta} = 0.5$ ;  $\alpha = 0.1$ ;  $\sigma_{\eta \text{ выбр}} = 10$ ; (а — линейный алгоритм; б — алгоритм Хубера)

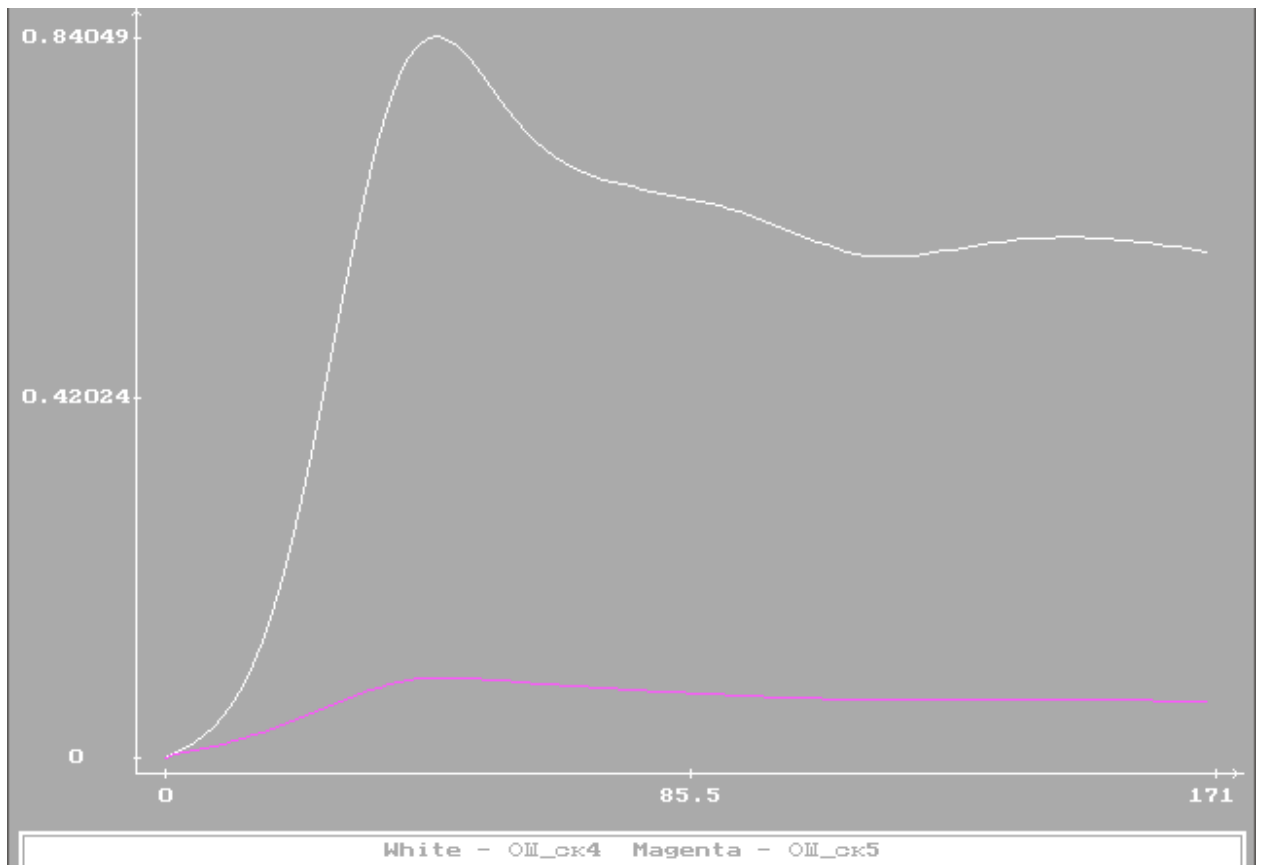


Рис.2. График зависимости сглаженной ошибки оценки от номера измерений для  $\sigma_\eta = 0.5$ ;  $\alpha = 0.1$ ;  $\sigma_{\eta \text{ выбр}} = 50$ ; (а — линейный алгоритм; б — алгоритм Хубера)

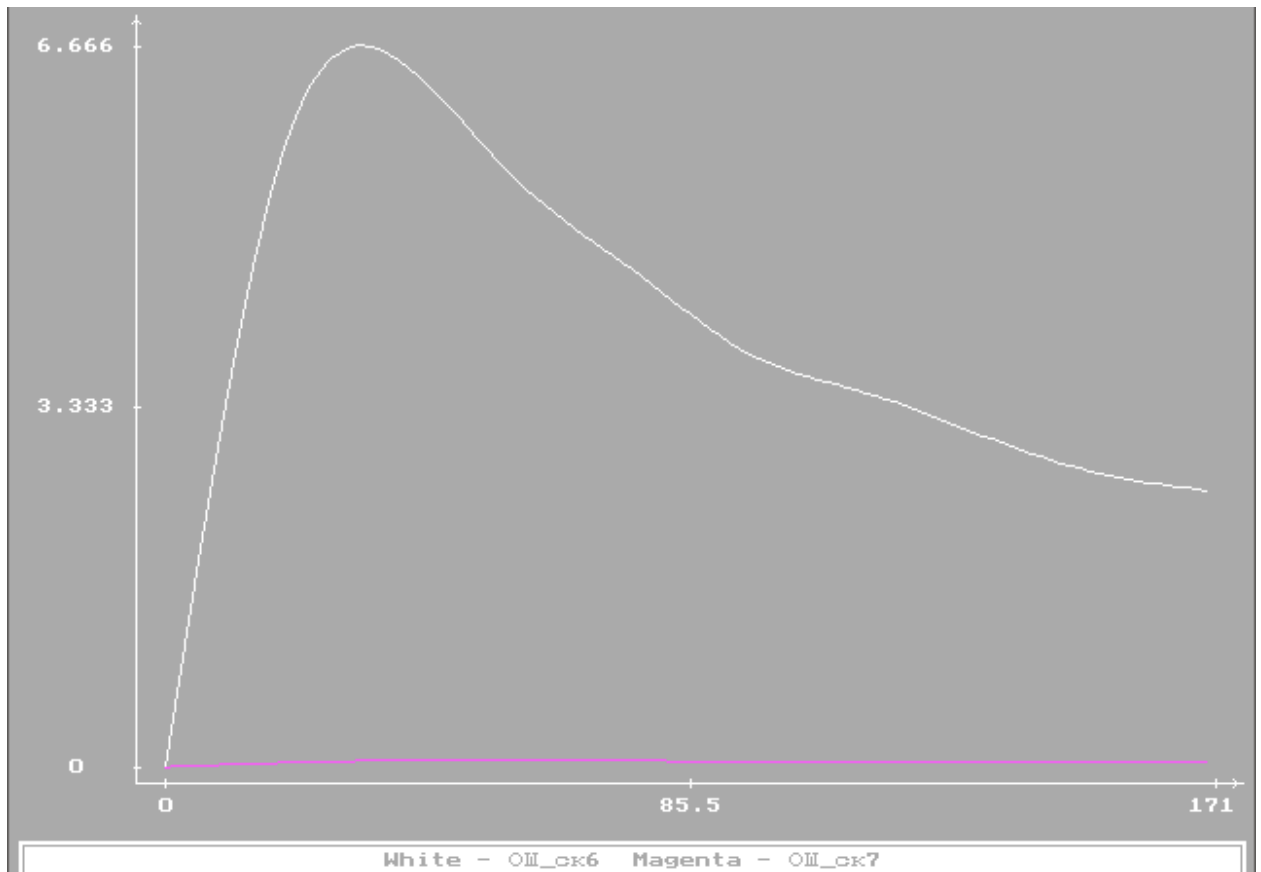


Рис.3. График зависимости сглаженной ошибки оценки от номера измерений для  $\sigma_\eta = 0.5$ ;  $\alpha = 0.1$ ;  $\sigma_{\eta \text{ выбр}} = 99$ ; (а — линейный алгоритм; б — алгоритм Хубера)

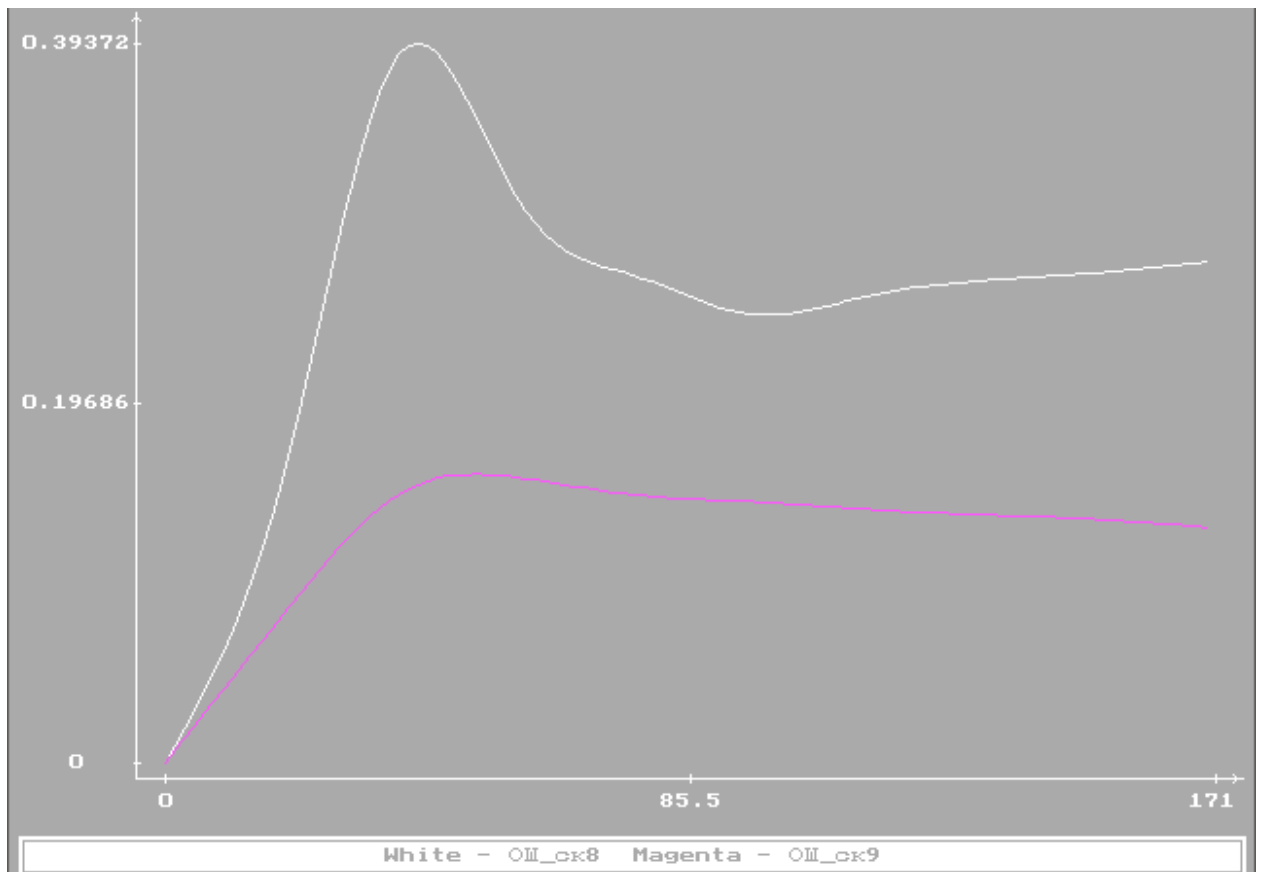


Рис.4. График зависимости сглаженной ошибки оценки от номера измерений для  $\sigma_\eta = 0.5$ ;  $\alpha = 0.3$ ;  $\sigma_{\eta \text{ выбр}} = 10$ ; (а — линейный алгоритм; б — алгоритм Хубера)

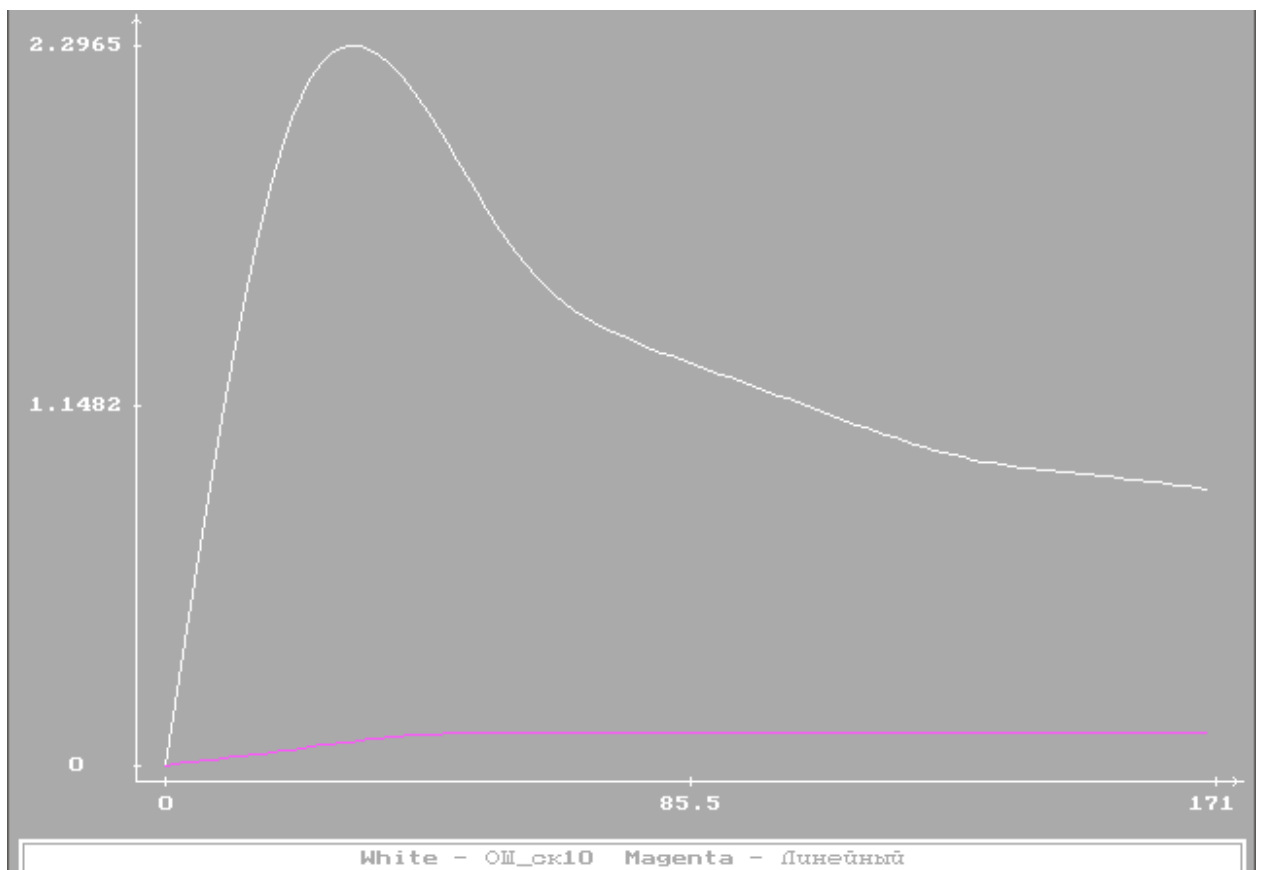


Рис.5. График зависимости сглаженной ошибки оценки от номера измерений для  $\sigma_\eta = 0.5$ ;  $\alpha = 0.3$ ;  $\sigma_{\eta \text{ выбр}} = 50$ ; (а — линейный алгоритм; б — алгоритм Хубера)

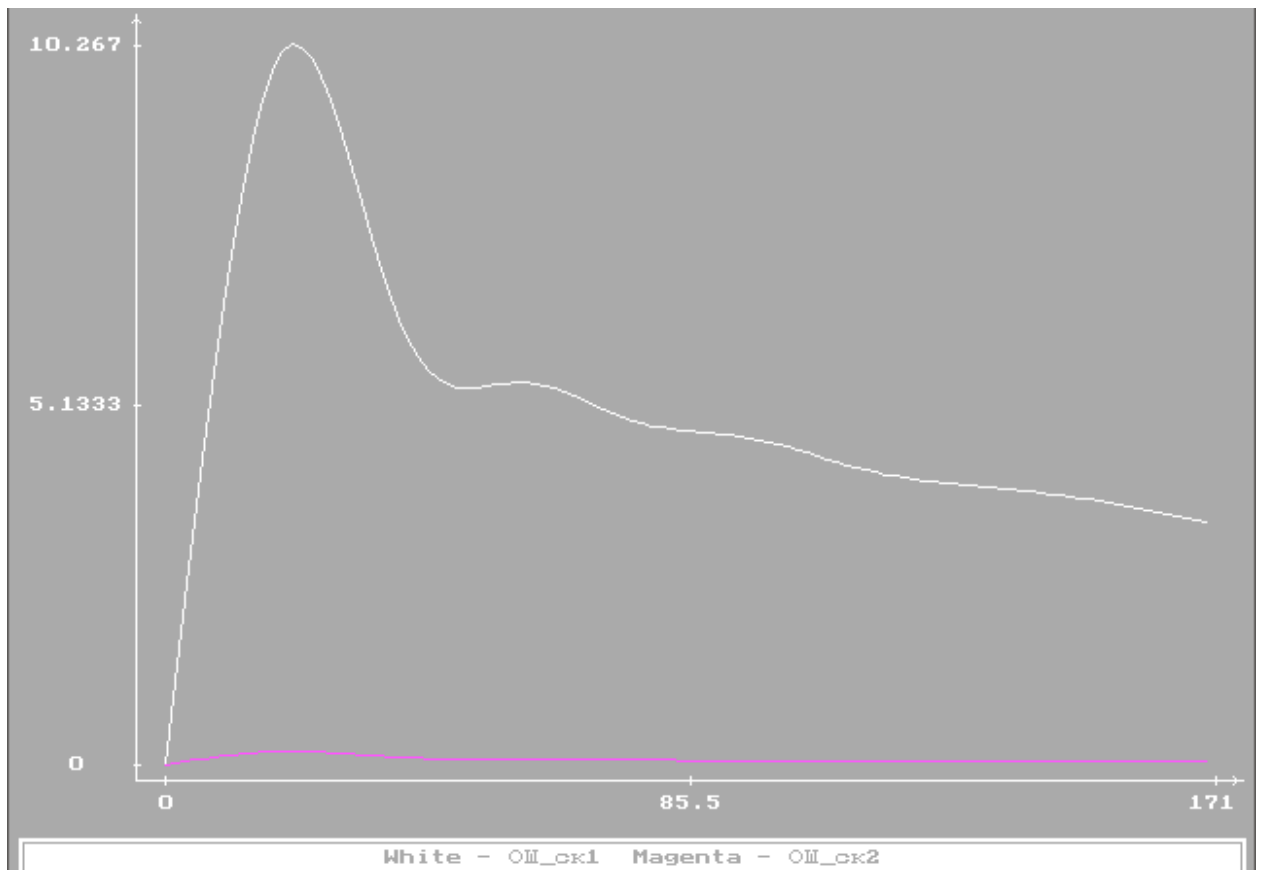


Рис.6. График зависимости сглаженной ошибки оценки от номера измерений для  $\sigma_{\eta} = 0.5$ ;  $\alpha = 0.3$ ;  $\sigma_{\eta \text{ выбр}} = 99$ ; (а — линейный алгоритм; б — алгоритм Хубера)

### Заключение

В данной работе проводилось исследование эффективности применения подхода Хубера при идентификации параметров линейного регрессионного объекта в условиях бедной априорной информации о шумах.

Были проведены эксперименты при различных статистических характеристиках распределений: вероятности появления выброса и СКО.

Из графиков видно, что эффективность использования рекуррентного алгоритма с использованием теоремы Хубера возрастает с увеличением вероятности выброса  $\alpha$  и с увеличением интенсивности выброса. При больших  $\alpha$  и  $\sigma_{\eta \text{ выбр}}$  обычный рекуррентный алгоритм практически неработоспособен, тогда как алгоритм Хубера обеспечивает достаточно хорошую сходимость оценок к истинным значениям параметров.